



## FRANKA RESEARCH 3

**Datenblatt** 



Version: 1.3 (2025/06) Dokumentennummer: R02212

## Datenblatt <sup>1</sup> Arm & Steuerung

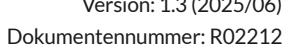
	A	RM		
Achsen	7	Schnittstellen		t (TCP/IP) für intuitive visuelle
Nutzlast	3 kg	• sicherhe		nmierung mit Desk itsbewerteter Eingang für externe
Maximale Reichweite	855 mm			nungseinrichtung
Kraft-/Drehmomentmessung	Gelenkseitiger Drehmomentsensor in allen 7 Achsen			urierbare sicherheitsbewertete Eingänge Halt-Einrichtungen, Schutzvorrichtungen
Gelenkpositionsgrenzen	A1, A3: -166/166° A2: -105/105°	externen • Hardwar (24 V, isol EN 6113		ndere Schutzgeräte (OSSD-Geräte über en OSSD-Konverter anschließbar)
	A4: -176/-7°			re vorbereitet für: 2x DI und 2x DO liert, Typ-3-Eigenschaften nach
	A5: -165/165°			31, Abtastrate 100 Hz)
	A6: 25/265° A7: -175/175°			eranschluss
Gelenkmomentgrenzen	A1-A4: ±87 Nm		Endeffektoranschluss	
	A5-A7: ±12 Nm	am Pilot-Griff des  • Handfüh  Arms		
Montageflansch	DIN ISO 9409-1-A50			rte, sicherheitsbewertete Zustimmtaste nr-Taste
Montageposition	aufrecht			nr-Modus-Taste
Gewicht	ca. 17.8 kg			
Schutzart	IP40	Benutzerschnittstelle auf dem Pilot-Bedien- feld des Arms  • Pilot-Mc • Pfeiltast Löschtas		72000
Umgebungstemperatur <sup>2</sup>	+5 °C to +45 °C			
Luftfeuchtigkeit	20–80 %, nicht kondensierend			en, Teachtaste, Bestätigungstaste,
STE	UERUNG		PERFO	RMANCE
Steuerungsabmessung (19")	355 x 483 x 89 mm (T x B x H)	Bewegung		
Versorgungsspannung	100 - 240 V <sub>AC</sub>	Gelenkgeschwindigkeitsgrenzen		A1-A4: 150 %s
Netzfrequenz	50- 60 Hz			A5-A7: 301 %s (bei FCI A6: 239 %s)
Leistungsaufnahme	~ 80 W	Kartesische Geschwindigkeitsgrenzen		bis zu 2 m/s (Endeffektorgeschwindigkei
Aktiver Leistungsfaktorkorrekturf (PFC)	filter yes	Punktwiederholgenauigkeit <sup>3</sup>		<+/- 0.1 mm (ISO 9283)
Gewicht	~7 kg			
Schutzart	IP20	Interaktion		
Umgebungstemperatur ²	+5 °C to +45 °C	Handführungskraft		ca. 2.5 N
Luftfeuchtigkeit	20 – 80 % nicht kondensierend	einstellbareTranslationssteifigkeit		10 - 3000 N/m
Zulässige Einbaulage	Horizontal	einstellbare Rotationssteifigkeit		1 – 300 Nm/rad
Schnittstellen	<ul> <li>Ethernet (TCP/IP) für Anbindung an Internet oder MES-Netzwerk- anschluss</li> </ul>	Überwachte Signale		Gelenkposition, Geschwindigkeit, Drehmoment, kartesische Position, Kr
	Kaltgerätestecker     IEC 60320 C14 (V-Lock)     Armanschluss	ZUBEHÖR		
		vollintegrierte Endeffekt	toren	• 2-Finger-Greifer
EXCLUSIV				Vakuumgreifer
EX	CLUSIV	Feldbusse		Modbus/TCP
Research Schnittstelle	1kHz Franka Control Interface (FCI)			• OPC UA



Version: 1.3 (2025/06) Dokumentennummer: R02212

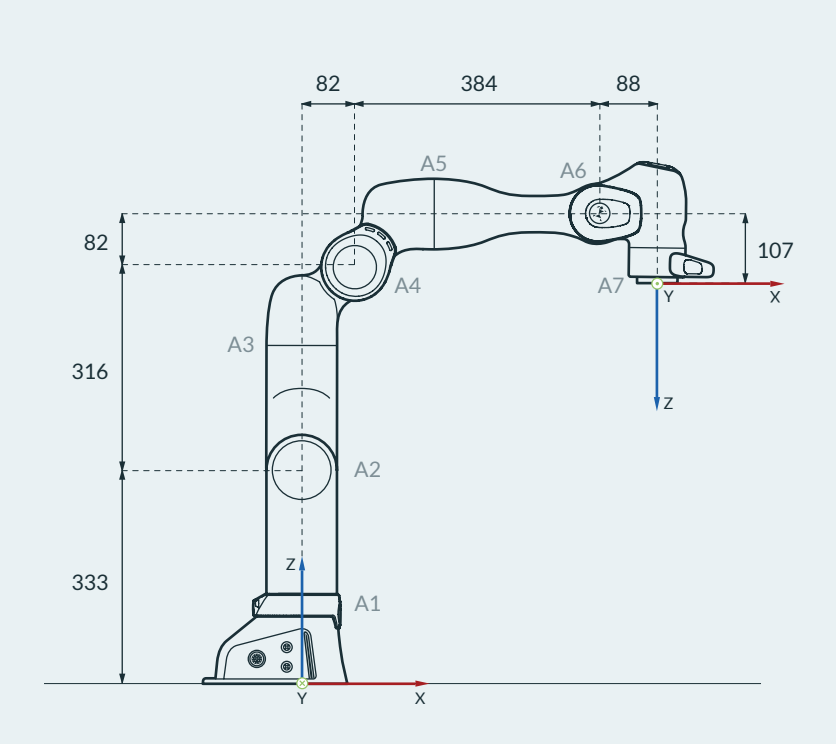
	SICHERHEIT
Zertifizierungen	
EN ISO 13849-1:2015 Sicherheit von Maschinen –	zertifiziert durch TÜV SÜD RAIL
Sicherheitsbezogene Teile von Steuerungen	
EN ISO 10218-1:2011 Robotik - Sicherheits-	zertifiziert durch TÜV SÜD Product Service
anforderungen - Teil 1: Industrieroboter	
Kollaborative Betriebsmodi	
Sicherheitsbewerteter überwachter Halt	vollintegriert in PLd / Kat. 3
Handführung	vollintegriert in PLd / Kat. 3
Sicherheitsbewertete Geschwindigkeits- und Abstandsüberwachung	umsetzbar in Kombination mit externen Schutzeinrichtungen bis zu PLd / Kat. 3
Sicherheitsparametrisierung und -validierung	
Watchman	Benutzerschnittstelle zur Einstellung und Validierung sicherheitsbezogener Parameter
Benutzerverwaltung	rollenbasierte Zugriffsverwaltung
Sicherheitsfunktionen	
Not-Halt (X3.1)	PLd / Kat. 3
Externe Zustimmeinrichtung (X4)	PLd / Kat. 3
Zustimmtaste	PLd / Kat. 3
Zwei konfigurierbare sichere Eingänge (X3.2 und X3.3)	PLd / Kat. 3
SLP-C: Sicher begrenzte kartesische Position	PLd / Kat. 3 Hinweis: FCI kann den Roboter nicht steuern, wenn SLP-C aktiv ist
SLS-C: Sicher reduzierte kartesische Geschwindigkeit	PLd / Kat. 3 Hinweis: FCI kann den Roboter nicht steuern, wenn SLS-C aktiv ist
SLP-J: Sicher begrenzter Gelenkwinkel	PLd / Kat. 3 Hinweis: FCI kann den Roboter nicht steuern, wenn SLP-J aktiv ist
SLS-J: Sicher begrenzte Gelenkgeschwindigkeit	PLd / Kat. 3
SLD: Sicher begrenzte Entfernung	PLd / Kat. 3
SEEPO: Sichere Endeffektor-Ausschaltung	PLb / Kat. b
H-M6	
Haltfunktionen	DLd / Vat 2
Stopp der Kategorie 0	PLd / Kat. 3
Stopp der Kategorie 1	PLd / Kat. 3 PLd / Kat. 3
Stopp der Kategorie 2 Sichere kartesische Positionsgenauigkeit im ungünstigsten	50 mm
Fall bei Stoppfunktionen	Summ
Sicherheitsangaben entsprechend der EN ISO 13849-1	
PFH of PLd / Kat. 3 Sicherheitsfunktionen (Ausfallwahrscheinlichkeit je Stunde)	<1×10-7
PFH of PLb / Kat. b Sicherheitsfunktionen (Ausfallwahrscheinlichkeit je Stunde)	<1×10-7
(Ausfallwahrscheinlichkeit je Stunde)  1. Technische Daten können sich jederzeit ändern. 2. Weitere Details finden Sie im Prudukthandbuch Franka Production 3.	

- $2.\,We itere\,Details\,finden\,Sie\,im\,Prudukthandbuch\,Franka\,Production\,3.$
- $3. \, \text{Die genannten Werte beziehen sich auf einen Arbeitsraum von 0,} 4\,x\,0,\!4\,x\,0,\!4\,m\,mit\,[0,\!498/0,\!0/0,\!226]\,m\,als\,Mittelpunkt gemessen, wobei die Z-Achse des Flansches auf einen Arbeitsraum von 0,\!4\,x\,0,\!4\,x\,0,\!4\,m\,mit\,[0,\!498/0,\!0/0,\!226]\,m\,als\,Mittelpunkt gemessen, wobei die Z-Achse des Flansches auf einen Arbeitsraum von 0,\!4\,x\,0,\!4\,x\,0,\!4\,m\,mit\,[0,\!498/0,\!0/0,\!226]\,m\,als\,Mittelpunkt gemessen, wobei die Z-Achse des Flansches auf einen Arbeitsraum von 0,\!4\,x\,0,\!4\,x\,0,\!4\,m\,mit\,[0,\!498/0,\!0/0,\!226]\,m\,als\,Mittelpunkt gemessen, wobei die Z-Achse des Flansches auf einen Arbeitsraum von 0,\!4\,x\,0,\!4\,x\,0,\!4\,m\,mit\,[0,\!498/0,\!0/0,\!226]\,m\,als\,Mittelpunkt gemessen, wobei die Z-Achse des Flansches auf einen Arbeitsraum von 0,\!4\,x\,0,\!4\,x\,0,\!4\,m\,mit\,[0,\!498/0,\!0/0,\!226]\,m\,als\,Mittelpunkt gemessen, wobei die Z-Achse des Flansches auf einen Arbeitsraum von 0,\!4\,x\,0,\!4\,x\,0,\!4\,m\,mit\,[0,\!498/0,\!0/0,\!226]\,m\,als\,Mittelpunkt gemessen, wobei die Z-Achse des Flansches auf einen Arbeitsraum von 0,\!4\,x\,0,\!4\,x\,0,\!4\,m\,mit\,[0,\!498/0,\!0/0,\!226]\,m\,als\,Mittelpunkt gemessen, wobei die Z-Achse des Flansches auf einen Arbeitsraum von 0,\!4\,x\,0,\!4\,x\,0,\!4\,m\,mit\,[0,\!498/0,\!0/0,\!0,\!226]\,m\,als\,Mittelpunkt gemessen, wobei die Z-Achse des Flansches auf einen Arbeitsraum von 0,\!4\,x\,0,\!4\,x\,0,\!4\,m\,mit\,[0,\!498/0,\!0/0,\!0,\!226]\,m\,als\,Mittelpunkt gemessen, wobei die Z-Achse des Flansches auf einen Arbeitsraum von 0,\!4\,x\,0,\!4\,x\,0,\!4\,m\,mit\,[0,\!498/0,\!0/0,\!0,\!226]\,m\,als\,Mittelpunkt gemessen, wobei die Z-Achse des Flansches auf einen Arbeitsraum von 0,\!4\,x\,0,\!4\,x\,0,\!4\,m\,mit\,[0,\!498/0,\!0/0,\!0,\!226]\,m\,als\,Mittelpunkt gemessen, wobei die Z-Achse des Flansches auf einen Arbeitsraum von 0,\!4\,x\,0,\!4\,x\,0,\!4\,m\,mit\,[0,\!498/0,\!0/0,\!0,\!226]\,m\,als\,Mittelpunkt gemessen, wobei die Z-Achse des Flansches auf einen Arbeitsraum von 0,\!4\,x\,0,\!4\,x\,0,\!4\,m\,mit\,[0,\!498/0,\!0,\!0,\!0,\!226]\,m\,als\,Mittelpunkt gemessen, wobei die Z-Achse des Flansches auf einen Arbeitsraum von 0,\!4\,x\,0,\!4\,x\,0,\!4\,x\,0,\!4\,x\,0,\!4\,x\,0,\!4\,x\,0,\!4\,x\,0,\!4\,x\,0,\!4\,x\,0,\!4\,x\,0,\!4\,x\,0,\!4\,x\,0,\!4\,x\,0,\!4\,x\,0,\!4\,x\,0,\!4$ parallel zur Erdschwerkraft ausgerichtet und der Ellbogen nach oben gerichtet ist (basierend auf ISO 9283, Anhang A)





## ABMESSUNGEN UND ARBEITSRAUM





Ausrichtung Achse 7 ohne Endeffektor



Achsbezeichnungen mit Gelenkabständen [mm]

Ausrichtung Achse 7 mit Franka Hand

